

REVISIÓN DEL GÉNERO *MACERIO* Y COMENTARIOS SOBRE
LA UBICACIÓN DE *CHEIRACANTHIUM*, *TECUTION* Y *HELEBIONA*
(ARANEAE, MITURGIDAE, EUTICHURINAE)

Martín J. Ramírez¹
Alexandre B. Bonaldo²
Antonio D. Brescovit³

ABSTRACT

REVISION OF THE GENUS *MACERIO* AND COMMENTS ON THE PLACEMENT OF *CHEIRACANTHIUM*, *TECUTION* Y *HELEBIONA* (ARANEAE, MITURGIDAE, EUTICHURINAE). The genus *Macerio* Simon includes those Eutichurinae with reduced leg spine pattern and generally wide anterior cameras in the female copulatory ducts. Diagnosis and illustrations are provided to eight species found in Chile and Argentina. The monotypic genus *Nicoletina* Mello-Leitão is herein considered a junior synonym of *Macerio*, *N. nicoleti* Mello-Leitão is transferred to this genus and the adult male is described for the first time. *Clubiona flavipes* Nicolet is synonymized with *Macerio flavus* (Nicolet). Six new species are described: *M. pucalan*, *M. chabon*, *M. nublio* and *M. pichono*, from Chile, *M. conguillio* and *M. lanin* from Argentina and Chile. Eutichurinae is diagnosed by the reduced thoracic groove, the rectangular ocular area with lateral eyes near the laterals of pars cephalica, and a retrolateral basal projection of the male cymbium. Based on these characters, the genus *Macerio* and the related *Cheiracanthium* C.L. Koch are transferred from Clubionidae to Eutichurinae, Miturgidae. The genera *Tecution* Benoit and *Helebiona* Benoit possess an acute basal cymbial apophysis as *Cheiracanthium*, and therefore are also transferred to Eutichurinae.

KEYWORDS. Miturgidae, Clubionidae, *Macerio*, Neotropical, Taxonomy.

INTRODUCCIÓN

El género *Macerio* fue propuesto en Clubionidae por SIMON (1897) para *Clubiona flava*, una especie chilena descrita por NICOLET (1849). El género permaneció

1. Lab. de Artrópodos, Facultad de Ciencias Exactas y Naturales, Departamento de Biología, Universidad de Buenos Aires, Pabellón II Ciudad Universitaria, (1428), Buenos Aires, Argentina. (Becario UBA).

2. Museu de Ciências Naturais, Fundação Zoobotânica do Rio Grande do Sul, C. Postal 1188, CEP 90001-970, Porto Alegre, RS, Brasil. (Becario CAPES, Universidade Federal do Paraná).

3. Instituto Butantan, Seção de Artrópodos Peçonhentos, Av. Vital Brasil, 1500, C. Postal 65, CEP 05503-900, São Paulo, SP, Brasil.

monotípico hasta que RAMÍREZ (1993) transfiriera para *Macerio* a *Clubiona aspersa* Nicolet, 1849, que fuera incluida en *Liparotoma* (Anyphaenidae) por SIMON (1897).

El género monotípico *Nicoletina* fue propuesto en Clubionidae por MELLO-LEITÃO (1951) para *N. nicoleti* Mello-Leitão, del sur de Chile. Norman Platnick (in litt.) examinó los tipos de esta especie, que resultó ser congénérica con *Macerio flavus*, demostrando que *Nicoletina* es un sinónimo más reciente de *Macerio*.

Desde su proposición, *Macerio* fue considerado un representante típico de Clubionidae, siendo incluido por SIMON (1897) en la subfamilia Clubioninae, junto con *Clubiona* Latreille y *Cheiracanthium* Hentz. LEHTINEN (1967) reconoció la artificialidad de Clubionidae, restringiéndola a los integrantes de Clubioninae próximos a *Clubiona*. Como la afinidad de *Macerio* y de *Cheiracanthium* con *Clubiona* no ha sido demostrada, la ubicación de estos géneros en Clubionidae fue mantenida más por tradición que por argumentación. De la misma manera, los géneros africanos *Tecution* y *Helebiona*, descriptos por BENOIT (1977) para la Isla Santa Helena, fueron clasificados en Clubioninae por su estrecha afinidad con *Cheiracanthium*.

Se revisa el género *Macerio*, y se presentan argumentos para justificar su ubicación y la de *Cheiracanthium*, en la subfamilia Eutichurinae, Miturgidae. La justificación de estas transferencias implica además una tentativa de definición de las familias Miturgidae y Clubionidae. Los géneros *Tecution* y *Helebiona* no han sido examinados para este estudio, pero comparten con *Cheiracanthium* la presencia de una apófisis aguda en la base del cymbium del palpo del macho (BENOIT, 1977: figs. 29-32), un carácter que indica una obvia relación de parentesco entre estos tres géneros.

Parentescos. Aunque se conoce poca evidencia de la monofilia de la familia Clubionidae, la morfología de las hileras parece ser una buena fuente de información. PLATNICK (1990) comentó que las hileras laterales anteriores de los machos de *Clubionoides* Edwards (sinonimizado con *Elaver* O. P. Cambridge por BRESCOVIT et al., 1994) y de *Clubiona* son cilíndricas, con las fúsulas de las glándulas piriformes agrandadas, mientras que las hembras presentan hileras laterales anteriores cónicas, con fúsulas de glándulas piriformes normales. Estas fúsulas son conspicuas en los machos de *Elaver brevipes* (Keyserling), siendo este dimorfismo sexual posiblemente una sinapomorfía de Clubionidae (comparar figs. 26 y 29). PLATNICK & DI FRANCO (1992: figs. 1, 4) describieron un dimorfismo semejante en algunos géneros de Liocranidae, tales como *Cybaeodes* Simon y *Agroeca* Westring. Sin embargo, estos representantes de Liocranidae presentan fúsulas de glándulas cilíndricas en las hileras medias posteriores y laterales posteriores de las hembras (ver PLATNICK & DI FRANCO, 1992: figs. 2, 3), las cuales no ocurren en Clubionidae y Miturgidae (figs. 3-31). Esto sugiere que las Liocranidae no están cercanamente emparentadas con las Clubionidae, y que la semejanza entre las hileras laterales anteriores de los machos es resultado de homoplasia.

La familia Miturgidae, propuesta por LEHTINEN (1967), incluye actualmente dos subfamilias, Miturginae y Eutichurinae. El único carácter propuesto que sostiene este agrupamiento es la forma del artículo distal de las hileras laterales posteriores, cónico y generalmente alargado. BONALDO (1994) presentó caracterizaciones preliminares de ambas subfamilias, transfiriendo *Strotarchus* Simon de Eutichurinae a Miturginae. Dos de los caracteres utilizados en estas diagnósis son informativos: (1) las hileras laterales anteriores de todas las Miturginae están separadas entre sí; (2) todas las Eutichurinae

conocidas presentan reducción del surco torácico. El primer carácter y la presencia de un surco retrolateral en el cymbium del palpo del macho (PLATNICK & SHADAB, 1989; PLATNICK & BONALDO, 1995) pueden sustentar la monofilia de Miturginae. El segundo, es aquí considerado una sinapomorfía de Eutichurinae.

MATERIAL Y MÉTODOS

Los especímenes han sido puestos a disposición por las siguientes instituciones (curadores entre paréntesis): AMNH: American Museum of Natural History, Nueva York (N. I. Platnick); CAS: Californy Academy of Sciences, San Francisco (C. Griswold); IRSN: Institut Royal des Sciences Naturelles de Belgique, Bruselas (L. Baert); MACN: Museo Argentino de Ciencias Naturales "Bernardino Rivadavia", Buenos Aires (C. Scioscia); MCN: Museu de Ciências Naturais, Fundação Zoobotânica do Rio Grande do Sul, Porto Alegre (E. H. Backup); MCZ: Museum of Comparative Zoology, Cambridge, Mass. (H. W. Levi); MHNS: Museo Nacional de Historia Natural, Santiago (A. Camousseight); MNHN: Museum National d'Histoire Naturelle, París (C. Rollard); MNRJ: Museu Nacional, Universidade Federal do Rio de Janeiro, Rio de Janeiro (A. Timotheo da Costa); UC: Universidad de Concepción, Concepción (T. Cekalovic). Parte del material del CAS colectado en Chile por E. Schlinger y M. Irwin durante 1966 será depositado en MHNS.

Las medidas están expresadas en milímetros. Las abreviaturas de las descripciones son standard en aracnología. Las estructuras del epigino se nombran según SIERWALD (1989). Las tráqueas fueron observadas luego de digestión en solución acuosa de KOH 10% a 100°C por aproximadamente 10 minutos.

Los siguientes taxones fueron utilizados en comparaciones de la morfología de las hileras y órgano tarsal al microscopio electrónico de barrido: *Macerio flavus* (Nicolet), Miturgidae, Eutichurinae, figs. 2-7, 39; *Cheiracanthium inclusum* (Hentz), Miturgidae, Eutichurinae, figs. 8-13, 34; *Strotarchus piscatorius* (Hentz), Miturgidae, Miturginae, figs. 14-19, 33; *Teminius insularis* (Lucas), Miturgidae, Miturginae, figs. 20-25, 32; *Elaver brevipes* (Keyserling), Clubionidae, Clubioninae, figs. 26-31, 35; *Ayscha triunfo* Brescovit, Anyphaenidae, Anyphaeninae, fig. 36; *Gayenna maculatipes* (Keyserling), Anyphaenidae, Amaurobioidinae fig. 37.

RESULTADOS

Los integrantes de *Macerio* y *Cheiracanthium* no presentan dimorfismo sexual en las hileras anteriores, la cuales son cónicas, sin fúsculas modificadas (figs. 2, 5, 8, 11), tal como en otros representantes de Miturgidae (figs. 14, 17, 20, 23). Por otra parte, el artículo distal de las hileras laterales posteriores es relativamente alargado, con las fúsculas de las glándulas aciniformes dispuestas en un campo longitudinal ventral, en forma de canoa (figs. 4, 7, 10, 13). Este carácter es común a los integrantes de Miturginae y Eutichurinae (figs. 16, 19, 22, 25; BONALDO & BUCKUP, 1985: figs. 56-57) y se propone aquí como una sinapomorfía de Miturgidae. En Clubionidae el artículo distal de las mismas hileras es globoso, con las fúsculas dispuestas en un campo circular restringido al ápice del artículo (figs. 28, 31). Lo mismo ocurre en Anyphaenidae (RAMÍREZ, 1995: figs. 38, 41, 44, 47, 50), una familia que podría estar cercanamente emparentada con las Clubionidae debido a la ausencia de fúsculas de glándulas cilíndricas (CODDINGTON & LEVI, 1991).

Además de la reducción del surco torácico (ausente o representado por una marca superficial), dos sinapomorfías adicionales definen a Eutichurinae y determinan la inclusión de *Macerio*, *Cheiracanthium*, *Tecution* y *Helebiona* en esta subfamilia: la base del cymbium proyectada retrolateralmente y el área ocular ancha, rectangular, con los ojos laterales próximos entre sí y cercanos a los laterales de la región cefálica. En

Miturginae y Anyphaenidae el área ocular es más angosta, mientras que en Clubionidae es relativamente ancha, pero trapezoidal, con los ojos laterales anteriores más próximos a los medios anteriores que a los laterales posteriores.

El órgano tarsal de *Elaver brevipes* presenta una hendidura estrecha extendiéndose a partir de la abertura (fig. 35), semejante al encontrado en *Clubiona huttoni* Forster & Blest (FORSTER & BLEST, 1979: fig. 22) y en representantes de Anyphaenidae, como *Aysha triunfo* Brescovit (fig. 36), *Gayenna maculatipes* (Keyserling) (fig. 37) y *Malenella nana* Ramírez (RAMÍREZ, 1995: fig. 53); esta hendidura es una sinapomorfía potencial de Clubionidae y Anyphaenidae. Los órganos tarsales de *Macerio flavus* (fig. 39) y *Cheiracanthium inclusum* (Hentz) (fig. 34) no presentan ningún trazo de abertura hendida. Este patrón, presumiblemente plesiomórfico, también ocurre en *Teminius insularis* (Lucas) (fig. 32) y *Strotarchus piscatorius* (Hentz) (fig. 33), representantes de Miturginae.

La monofilia del género *Macerio* es sostenida por dos sinapomorfías putativas: la ausencia de espinas en fémures y tibias de las patas en ambos sexos y los conductos copuladores femeninos con una cámara anterior (fig. 53), generalmente amplia, la cual es rellenada por un tapón de secreción endurecida luego de la cópula. En *Eutichurus* Simon, *Radulphius* Keyserling y *Cheiracanthium* aparecen tapones similares, pero estos cubren toda la superficie del atrio y no penetran en los conductos copuladores.

Macerio Simon, 1897

Clubiona; NICOLET, 1849: 441 (partim).

Macerio SIMON, 1897: 80, 83, 84, 88 (especie tipo por designación original, *Clubiona flava* Nicolet, 1849).

PETRUNKEVITCH, 1928: 172. ROEWER, 1954: 519. BONNET, 1957: 2684. RAMÍREZ, 1993: 204.

Nicoletina MELLO-LEITÃO, 1951: 335 (especie tipo por designación original, *Nicoletina nicoleti* Mello-Leitão, 1951). BRIGNOLI, 1983:553. Syn. n.

Diagnosis. *Macerio* se reconoce por: patas sin espinas en fémures y tibias, ocasionalmente una espina en tibias I y II; ojos laterales en tubérculo conspicuo (fig. 46); palpo del macho con tubérculo tibial retrolateral (fig. 49) (en *Radulphius* el tubérculo tibial es ventral, ver BONALDO & BUCKUP, 1995); conductos copuladores provistos da una cámara anterior (fig. 53), rellenada por un tapón de secreción endurecida luego de la cópula.

Descripción. Coloración uniforme en al mayoría de las especies, generalmente con cefalotórax anaranjado, más oscuro en los bordes laterales de la región cefálica, con pigmento negro alrededor de los ojos. Quelíceros marrón rojizo. Labio y maxilas anaranjado oscuro. Esternón amarillo claro en el centro y anaranjado en los bordes. Patas amarillas, con ápice de los tarsos más oscuros. Abdomen variando de gris claro a oscuro (fig. 1).

Largo total (machos y hembras) 7-13,5. Cefalotórax convexo, truncado en el margen anterior, con mayor ancho junto a las coxas II; región cefálica más alta que la torácica, declive posterior abrupto, principalmente en las hembras; surco torácico ausente, reducido a una mancha difusa; clipeo con altura menor al diámetro de los OMA; chilum entero y piloso. Ojos: fila anterior levemente procurva en vista frontal, posterior recta en vista dorsal. AOM trapezoidal, tan ancha como larga, más ancha atrás. Ojos subcirculares, subiguales en tamaño (fig. 46). Interdistancias: OMA-OMA separados



Fig. 1. *Macerio nicoleti* (Mello-Leitão), hembra de Nahuelbuta, Chile.

por aproximadamente su diámetro; OMA-OLA por hasta el doble del diámetro de los OMA; OMP-OMP por hasta dos diámetros y medio; OMP-OLP por hasta tres diámetros de los OMP; OLA-OLP separados por medio diámetro, sobre un tubérculo. Quelíceros robustos, algo más delgados y alargados en los machos, geniculados (más acentuadamente en los machos), promargen con 3 dientes subiguales y un dentículo en retromargen (figs. 38, 47). Maxilas paralelas, retromargen cóncavo, ápice redondeado, en los machos con un surco medio. Labio más largo que ancho, más largo que la mitad de las maxilas. Esternón más largo que ancho, bordes poco esclerotizados, más ancho en el medio (fig. 47).

Patas robustas, muy hirsutas, con pelos castaños generalmente largos. Largo relativo I.II.IV.III o I.IV.II.III. Trocánteres anteriores más largos que los demás. Tarsos y tercio distal de los metatarsos con escópula ventral rala. Metatarsos III y IV sin mechón de cerdas ventrodistales. Tricobotrias dorsales, en una fila sobre los metatarsos, y dos filas sobre los tarsos; base con borde semicircular fuertemente surcada (figs. 40, 41). Organó tarsal capsulado, con abertura oval de márgen levemente proyectado (fig. 39). Tarso con dos uñas cortas, con 6-8 dientes (fig. 42). Tarso del palpo de la hembra claviforme, con uña pectinada. Patas desprovistas de espinas en fémures y tibias, ocasionalmente una espina en tibias I y II.

Abdomen ovalado, piloso, con pelos castaños largos alternados con cortos; dorsalmente con dos pares de inserciones musculares medianas. Espiráculo traqueal contiguo a las hileras. Sistema traqueal formado por cuatro tráqueas simples, restringidas al abdomen. Hileras laterales anteriores con dos fúsulas de glándulas ampulares principales

(Amp) y 25-30 fúsculas de glándulas piriformes (Pi) en hembras (fig. 2); machos con una fúscula ampular principal y una reducida, no funcional, y 35-40 fúsculas de glándulas piriformes (fig. 5). Hileras medias posteriores sin fúsculas de glándulas cilíndricas, con una fúscula de glándula ampular secundaria (amp) y tartiporo de esta fúscula (fig. 3), y cerca de 10 fúsculas de glándulas aciniformes (Ac), tanto en machos como en hembras (figs. 3, 6). Hileras laterales posteriores con artículo distal cónico, con 25-30 fúsculas de glándulas aciniformes (Ac) en machos y hembras, distribuídas en la cara ventral, ocupando un área longitudinal restringida (figs. 4, 7); sin fúsculas de glándulas cilíndricas.

Palpo del macho con apófisis tibial retrolateral distal simple y bien desarrollada (fig. 44, 49); región media de la tibia o base de la apófisis retrolateral con tubérculo retrolateral cónico o redondeado, poco esclerotizado (fig. 49), similar al encontrado ventralmente en ciertas especies de *Radulphius* (BONALDO & BUCKUP, 1995). Bulbo con apófisis media retrolateral subapical (figs. 45, 48, 49); conductor insertado apicalmente en el tegulum, laminar, hialino, a veces envolviendo el ápice del émbolo; proyección tegular distal, próxima a la base de la apófisis media, poco esclerotizada en la mayoría de las especies y ausente en *M. nicoleti*, *M. chabon* y *M. nublío* (figs. 49, 61); émbolo simple, corto a mediano, cónico, en general de inserción apical (fig. 45) o prolatero-apical (figs. 61, 63).

Epigino con atrio amplio y profundo (fig. 43) (excepto *M. lanin*, reducido, fig. 59); orificios copuladores laterales; borde posterior con sutura media (figs. 43, 52). Conductos copuladores cortos, con una cámara anterior más o menos amplia, adyacente a los orificios copuladores (fig. 53); ápice de la espermateca (**diverticulum sensu** HUBER, 1995) pequeño, globular, unido al conducto copulador entre la cámara anterior y la base de la espermateca; base lobular. El atrio, los orificios copuladores y las cámaras anteriores son aparentemente rellenos con un tapón copulador luego del apareamiento.

Distribución: Chile, desde la región IV, provincia de Choapa, hasta la región X, provincia de Chiloé. Argentina, provincias de Chubut y Río Negro. Las citas de FRANGANILLO BALBOA (1930, 1935, 1936) para Cuba son presumiblemente erróneas.

Macerio flavus (Nicolet)

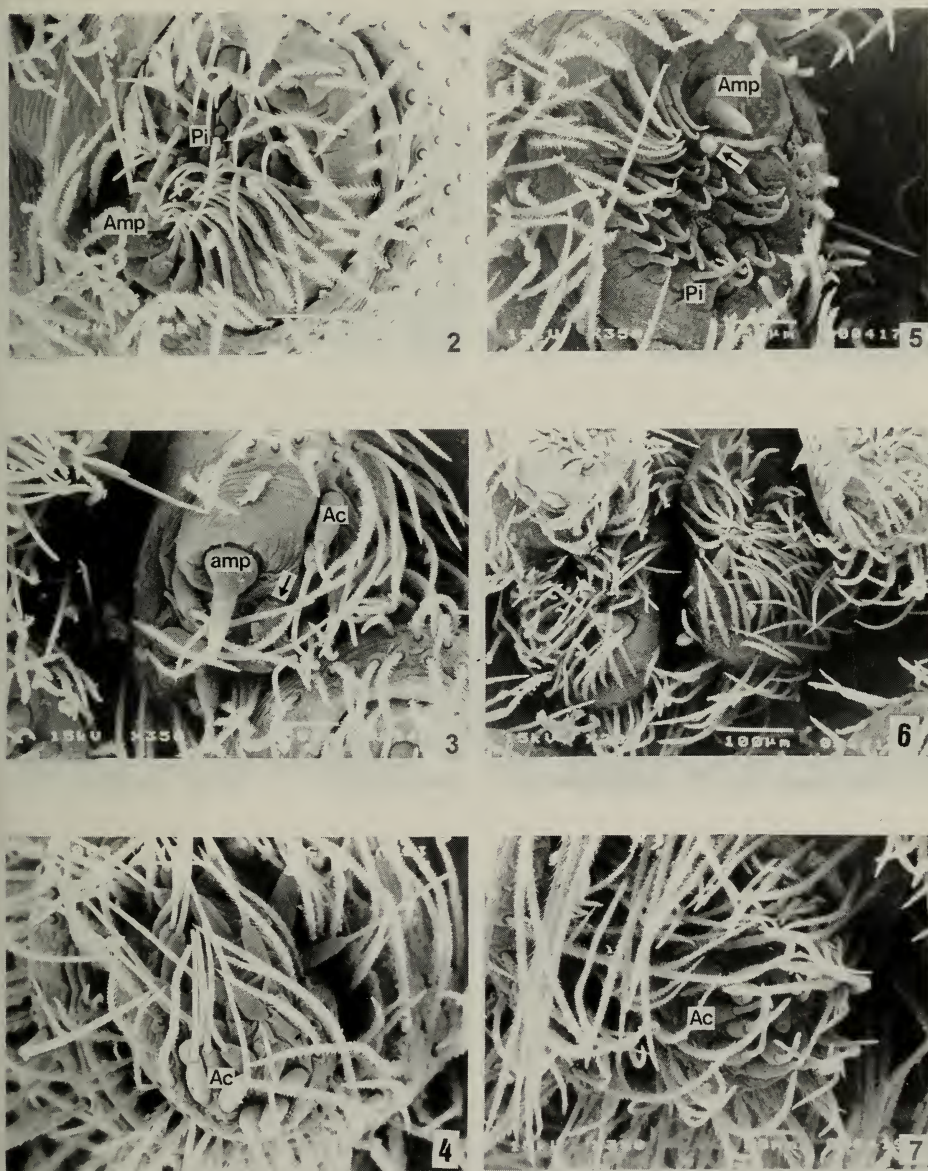
(Figs. 2-7, 38-54)

Clubiona flava NICOLET, 1849: 441 (número no definido de sintipos macho y hembra, sin localidad específica, Chile, MNHN, examinado solamente sintipo hembra, macho no localizado). SIMON, 1864: 132. Se designa lectotipo hembra.

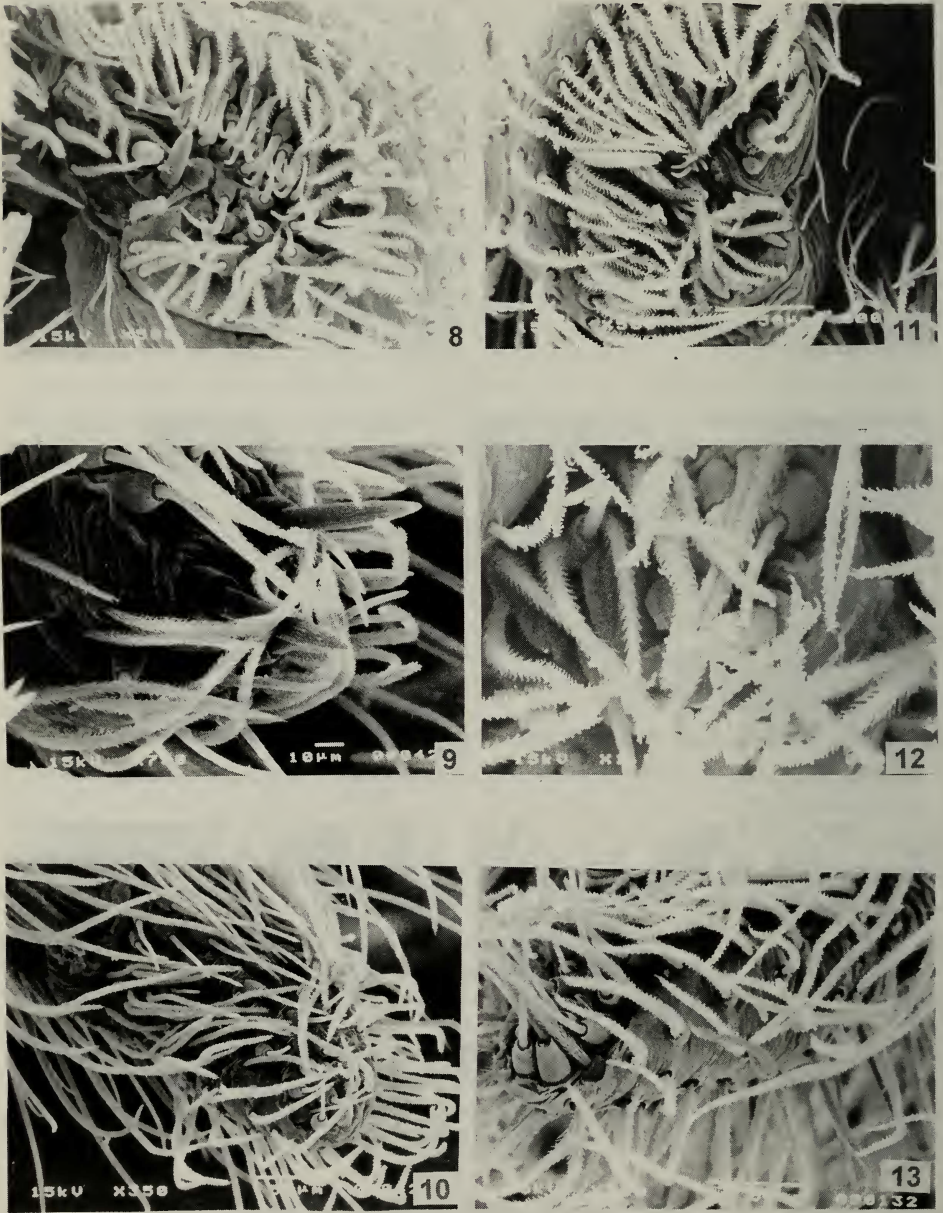
Clubiona flavipes NICOLET, 1849: 442 (sintipos 2 hembras y 4 juveniles, sin localidad específica, Chile, MNHN 4221, examinados). SIMON, 1864: 132. PETRUNKEVITCH, 1911: 460. ROEWER, 1954: 510. BONNET, 1956: 1124. **Syn. n.**

Macerio flavus; SIMON, 1897: 80, 83, 88; 1904: 100. PETRUNKEVITCH, 1911: 490; 1928: 172. ROEWER, 1954: 519. BONNET, 1957: 2684.

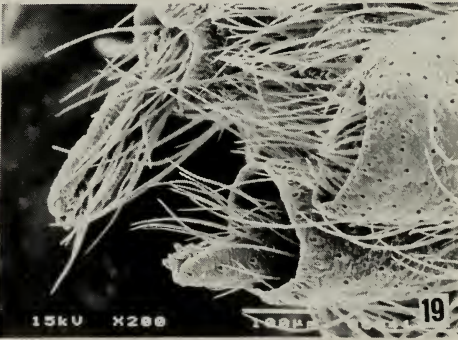
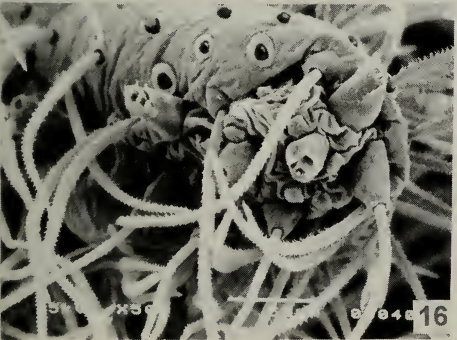
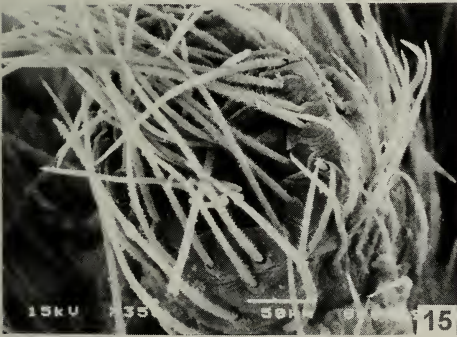
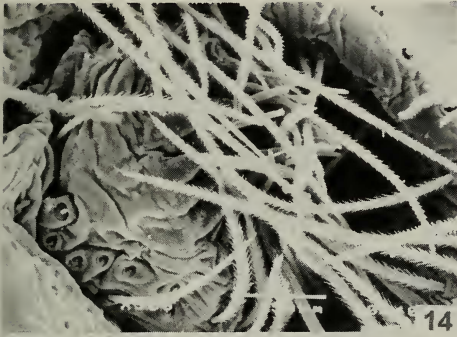
Nota. NICOLET (1849) describe macho y hembra de esta especie, sin designar holotipo. En la colección del MNHN no se encontraron los ejemplares sintipos con las etiquetas indicando su pertenencia a la colección de Nicolet. Solamente se encontró un tubo rotulado por Simon, con tres hembras. Dos de los ejemplares están en perfecto



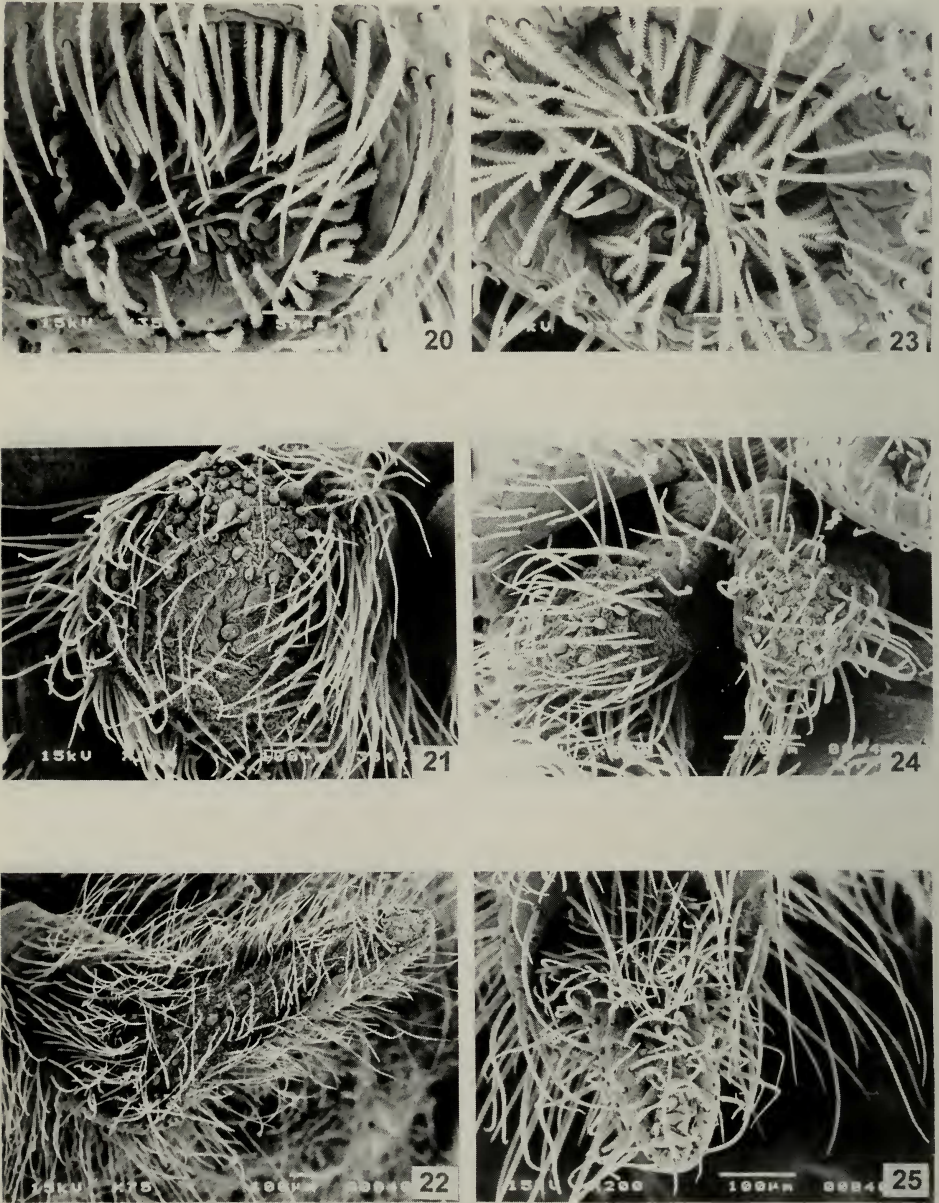
Figs. 2-7. *Macerio flavus* (Nicolet), detalle de hileras: 2-4, hembra; 5-7, macho; 2, 5, laterales anteriores (flecha a Amp no funcional); 3, 6, medias posteriores (flecha a tartiporo de amp); 4, 7, laterales posteriores. (Abreviaturas: Ac=fúsula de glándula aciniforme; Amp=fúsula de glándula ampular principal; amp=fúsula de glándula ampular secundária; Pi=fúsula de glándula piriforme).



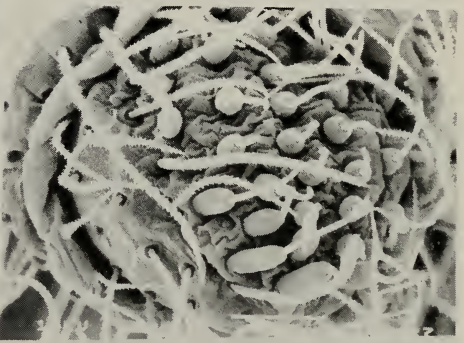
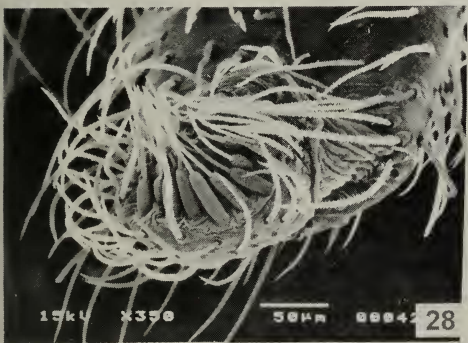
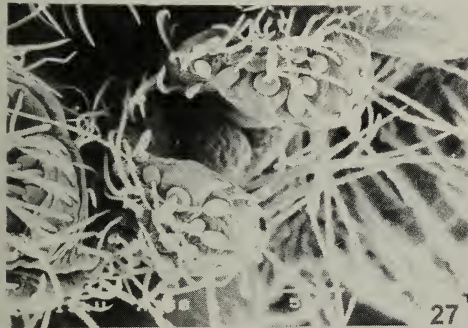
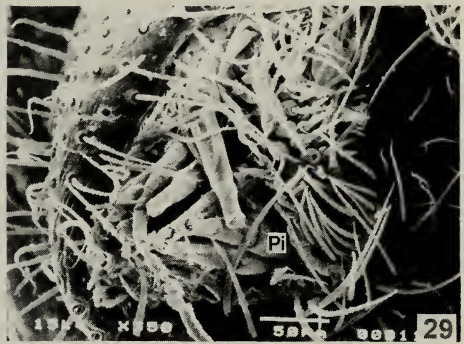
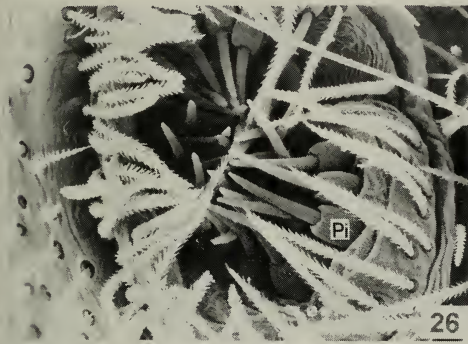
Figs. 8-13. *Cheiracanthium inclusum* (Hentz), detalle de hileras: 8-10, hembra; 11-13, macho; 8, 11, laterales anteriores; 9, 12, medias posteriores; 10, 13, laterales posteriores.



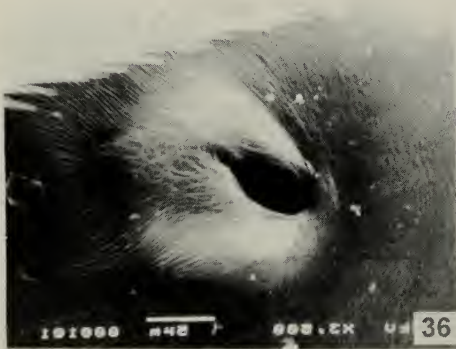
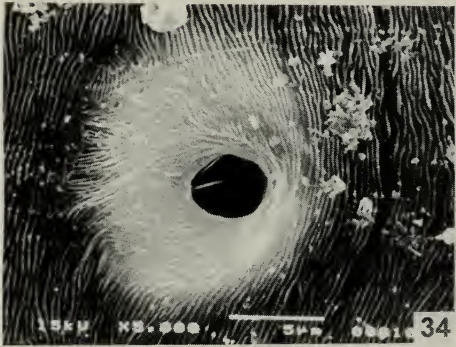
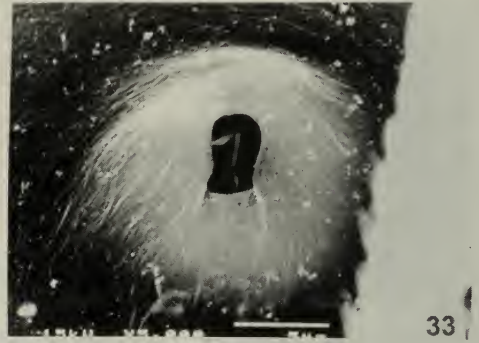
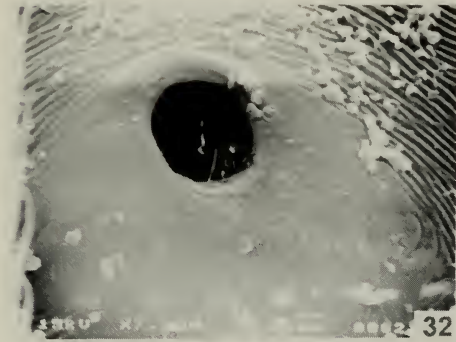
Figs. 14-19. *Strotarchus piscatorius* (Hentz), detalle de hileras: 14-16, hembra; 17-19, macho; 14, 17, laterales anteriores; 15, 18, medias posteriores; 16, 19, laterales posteriores.



Figs. 20-25. *Teminius insularis* (Lucas), detalle de hileras: 20-22, hembra; 23-25, macho; 20, 23, laterales anteriores; 21, 24, medias posteriores; 22, 25, laterales posteriores.



Figs. 26-31. *Elaver brevipennis* (Keyserling), detalle de hileras: 26-28, hembra; 29-31, macho; 26, 29, laterales anteriores; 27, 30, medias posteriores; 28, 31, laterales posteriores. (Abreviatura: Pi=fúsula de glándula piriforme).



Figs. 32-37. Organo tarsal, tarso I: 32, *Teminius insularis* (Lucas); 33, *Strotarchus piscatorius* (Hentz); 34, *Cheiracanthium inclusum* (Hentz); 35, *Elaver brevipes* (Keyserling); 36, *Aysha triunfo* Brescovit; 37, *Gayenna maculatipes* (Keyserling).

estado, mientras que otro está decolorado, prácticamente depilado, con costras blancas depositadas, como el resto de los ejemplares de la colección de Nicolet (M. Ramírez, observación personal). En estas condiciones, es evidente que este último ejemplar proviene de otro lote. Existen indicios consistentes de que Simon habría fusionado lotes diferentes de arañas de la misma especie (PLATNICK, 1993), por lo cual presumimos que el ejemplar decolorado es uno de los sintipos de la colección Nicolet, y es designado lectotipo.

Diagnosis. Los machos se distinguen por poseer el tubérculo tibial muy cerca de la apófisis tibial (figs. 49, 50). Las hembras por el atrio del epigino amplio, más ancho que largo (fig. 52).

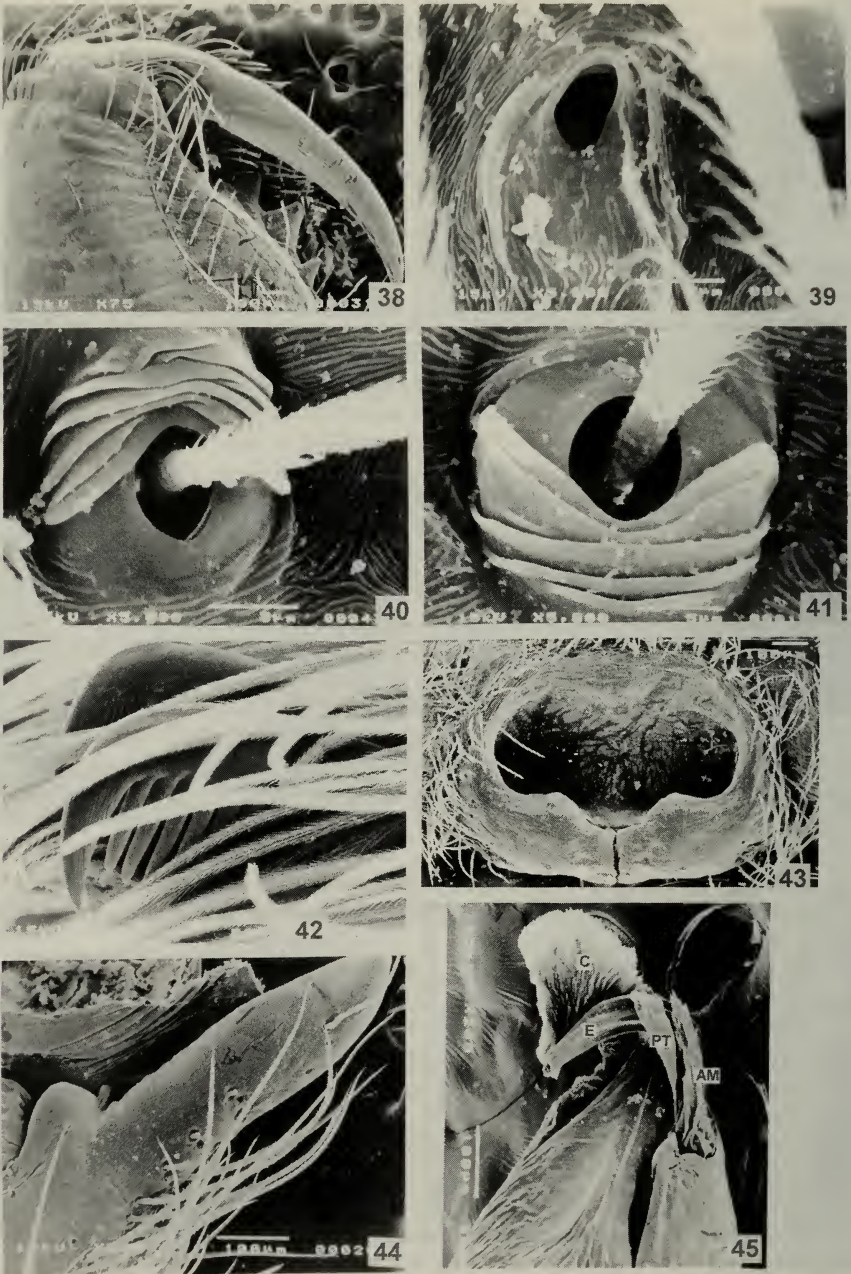
Descripción. Macho (Chiloé, 15km S Chepu, MACN). Largo total 8,1. Cefalotórax: largo 6,4, ancho 5,7; clípeo, altura 0,05. Ojos: fila anterior 1,8, posterior 0,94; AOM largo 0,50, ancho anterior 0,58, posterior 0,94; diámetros OMA 0,20, OLA 0,20, OMP 0,17, OLP 0,18; interdistancias OMA-OMA 0,23; OMA-OLA 0,52; OMP-OMP 0,42; OMP-OLP 0,45; OLA-OLP 0,12; quelíceros largo 2,5. Esternón largo 1,8, ancho 1,6. Abdomen largo 4,7, ancho 2,8. Patas: largo relativo I.IV.II.III; I - fémur 3,9 / patela 1,8 / tibia 3,9 / metatarso 3,9 / tarso 1,4, total 14,7; II - 3,1 / 1,5 / 2,9 / 2,9 / 1,2 / 11,7; III - 4,1 / 1,2 / 1,7 / 2,1 / 0,90 / 10; IV - 4,5 / 1,4 / 2,4 / 2,8 / 1,0 / 12,2. Espinas: metatarsos I, II v p1-0-1; III v p1-0-1, p y r 2ap; IV p 1ap, r 2ap, v p1-0-1. Palpo (figs. 49-51): tubérculo tibial delgado, muy próximo a la apófisis tibial; proyección tegular membranosa, apófisis media translúcida; émbolo grueso y curvo.

Hembra (Llanquihue, Caleta La Arena, MACN). Largo total 9,4. Cefalotórax: largo 4,3, ancho 3,3; clípeo, altura 0,08. Ojos: fila anterior 2,2, posterior 2,3; AOM largo 0,48, ancho anterior 0,63, posterior 0,85; diámetros OMA 0,22, OLA 0,22, OMP 0,18, OLP 0,20; interdistancias OMA-OMA 0,22; OMA-OLA 0,63; OMP-OMP 0,52; OMP-OLP 0,60; OLA-OLP 0,12; quelíceros largo 2,5. Esternón largo 2,1, ancho 1,7. Abdomen largo 4,7, ancho 2,8. Patas: largo relativo I.II.IV.III; I - fémur 3,7 / patela 1,8 / tibia 2,6 / metatarso 2,7 / tarso 1,2 / total 12,1; II - 2,9 / 1,8 / 2,3 / 2,5 / 1,1 / 10,6; III - 2,3 / 1,4 / 1,5 / 1,9 / 0,87 / 8; IV - 3,1 / 1,6 / 1,7 / 2,7 / 1,1 / 10,1. Espinas: metatarsos I y II, v 1ap; III v 1ap, p y r 2ap; IV v 1 ap, p 1ap, r 2ap. Epigino: atrio amplio y transversal (figs. 43, 52, 54); cámaras anteriores de los conductos copuladores pequeñas y longitudinales, separadas entre sí (fig. 53).

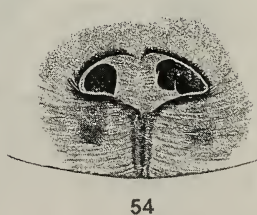
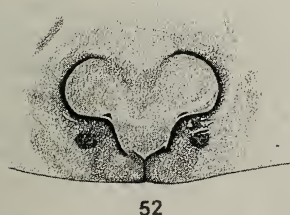
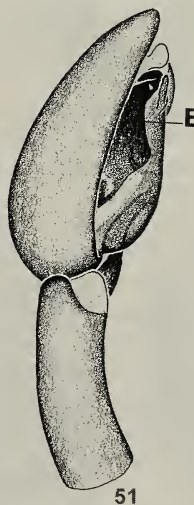
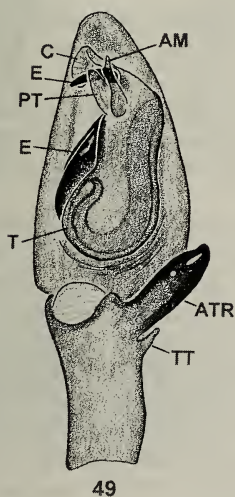
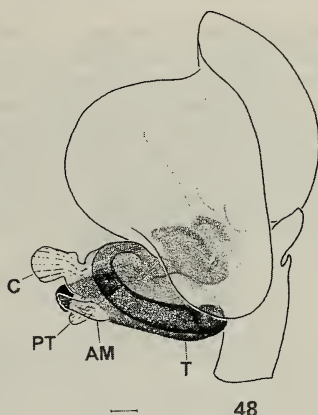
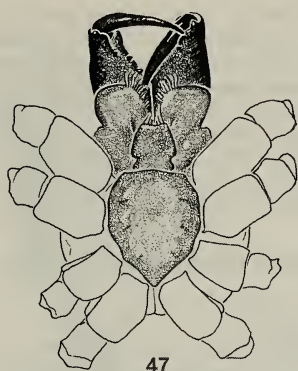
Variación. Hembras, largo total 8,5-10,9 (n=12). El epigino varía considerablemente en cuanto a la forma del atrio (figs. 52, 54). Machos, largo total 7,3-10,8 (n=6).

Distribución. Chile, desde la región IV, provincia de Choapa, hasta la región X, provincia de Chiloé. Argentina, provincia de Chubut.

Material. ARGENTINA. **Chubut:** 190, M. Ramírez, 1♀ (MACN). CHILE. **Región IV:** Choapa, Ñagué (10km N Los Vilos, Rt.5 km236, elev. 40m, 31°50'S, 71°31'W), 13.XI.1993, Platnick et al., 2♀ (AMNH); Puerto Oscuro, Caleta Oscuro (31°26'S, 71°37'W), 23.IX.66, E. I. Schlinger, 1♀ (CAS); **Región V:** Petorca, Los Molles (Rt.5 km188, elev. 10m. 9.XI.1993, 32°14'S, 71°30'W), Platnick et al., 2♀ (AMNH); 16km E Papudo, 28.XI.50, Ross & Michelbacher, 1♀ (CAS); Zapallar, 27.XI.57, Ross & Michelbacher, 4♀ (CAS); Quillota, ca. Nogales (32°44'S, 71°16'W), 15.IX.66, E. I. Schlinger, 1♀ (CAS); Viña del Mar, Sausalito, 4.XII.82, M. Pino, 1♀ (MHNS); San Antonio, Quebrada de Córdoba, cerca de El Tabo, 1-4.XI.85, L. Peña, 1♀ (AMNH); **Región Metropolitana:** Santiago, Pirque, 20.XI.82, 1♀ (AMNH); **Región VII:** Talca, Alto de Vilches, elev. 1300m, bosque de *Nothofagus*, 5.XII.84 al 20.II.85, trampas FIT, S. y J. Peck, 1♀ (AMNH); Gil de Vilches, 7-8.II.92, M. Ramírez et al., 1♀ (AMNH); 25.XI.71, R. Calderón, 1♀ (UC); Linares, Linares, I.47, L. Peña, 1♀ (IG. 19736 IRSN); **Región VIII:** Concepción, Bosque de Ramuncho, 9.II.92, Ramírez et al., 1♂ (AMNH);



Figs. 38-45. *Macerio flavus* (Nicolet): 38, quelícero, hembra, vista ventral; 39, órgano tarsal; 40, tricobotria, tarso I, hembra; 41, tricobotria, tarso I, macho; 42, uña, tarso I, hembra; 43, epigino, ventral; 44, apófisis tibial retrolateral del palpo, ventral; 45, bulbo, apical.



Figs. 46-54. *Macerio flavus* (Nicolet): 46, macho, dorsal; 47, prosoma, ventral; 48, palpo expandido; 49, palpo ventral; 50, retrolateral; 51, prolateral; 52, epigino (Chepu), ventral; 53, dorsal aclarado; 54, ventral (lectotipo). (Abreviaturas: AM= apófisis media; ATR= apófisis tibial retrolateral; C= conductor; Ca= cámara anterior; E= émbolo; PT= proyección tegular; T= tegulum; TT= tubérculo tibial). Escalas: 1mm, fig. 46; 0,4mm, fig. 47; 0,1mm, figs. 48-54.

Escuadrón, 2.IV.88, T. Cekalovic, 1♂ (AMNH); 36°57'S 73°09'W, elev. 5m, 18.XI.93, Platnick et al., 2♂ (AMNH); Hualpén, Las Escaleras, 9.X.82, T. Cekalovic, 1♀ (AMNH); Biobío, Alto Caledonia (42km SE Mulchen), 14.II.92, M. Ramírez et al., 1♀ (AMNH); El Manzano, cerca de Contulmo, 15.XII.85, L. E. Peña, 1♂ 1♀ (AMNH); **Región IX:** Malleco, Monumento Natural Contulmo, 12.I.89, M. Ramírez, 5♀ (MACN); **Región X:** Valdivia, Corral, 16.I.89, Ramírez, 2♀ (MACN); Huachocopihue, 7.III.65, H. Levi, 1♀ (MCZ); Santo Domingo, IV.85, D. Jackson, 1♂ (MHNS); Valdivia, 1983, E. Kraemer, 1♀ (MHNS 821); Osorno, Lago Rupanco, 23.I.84, Ruiz, 1♂ (UC); Villarrica, 1-30.I.65, L. Peña, 2♀ (MCZ); Llanquihue, Caleta La Arena, 30.I.91, M. Ramírez, 1♂ (MACN) 1♀ (MCN 25963); Chiloé; 15km S de Chepu, 3.II.91, M. Ramírez, 2♂ (MACN) 1♂ (MCN 25964). Sin localidad específica: Chile, 1♂ 1♀ (MNHN 8935).

Macerio nicoleti (Mello-Leitão) comb. n.

(Figs. 1, 55-58)

Macerio sp.; SIMON, 1897: 83 (macho MNHN 18256, Valdivia, examinado).

Nicoletina nicoleti MELLO-LEITÃO, 1951: 335 (una hembra y un macho subadulto sintipos, de Chile, Reg. X, Llanquihue, Maullín, MNRJ, examinados por N. Platnick); BRIGNOLI, 1983: 553. Se designa lectotipo hembra y paralectotipo macho subadulto.

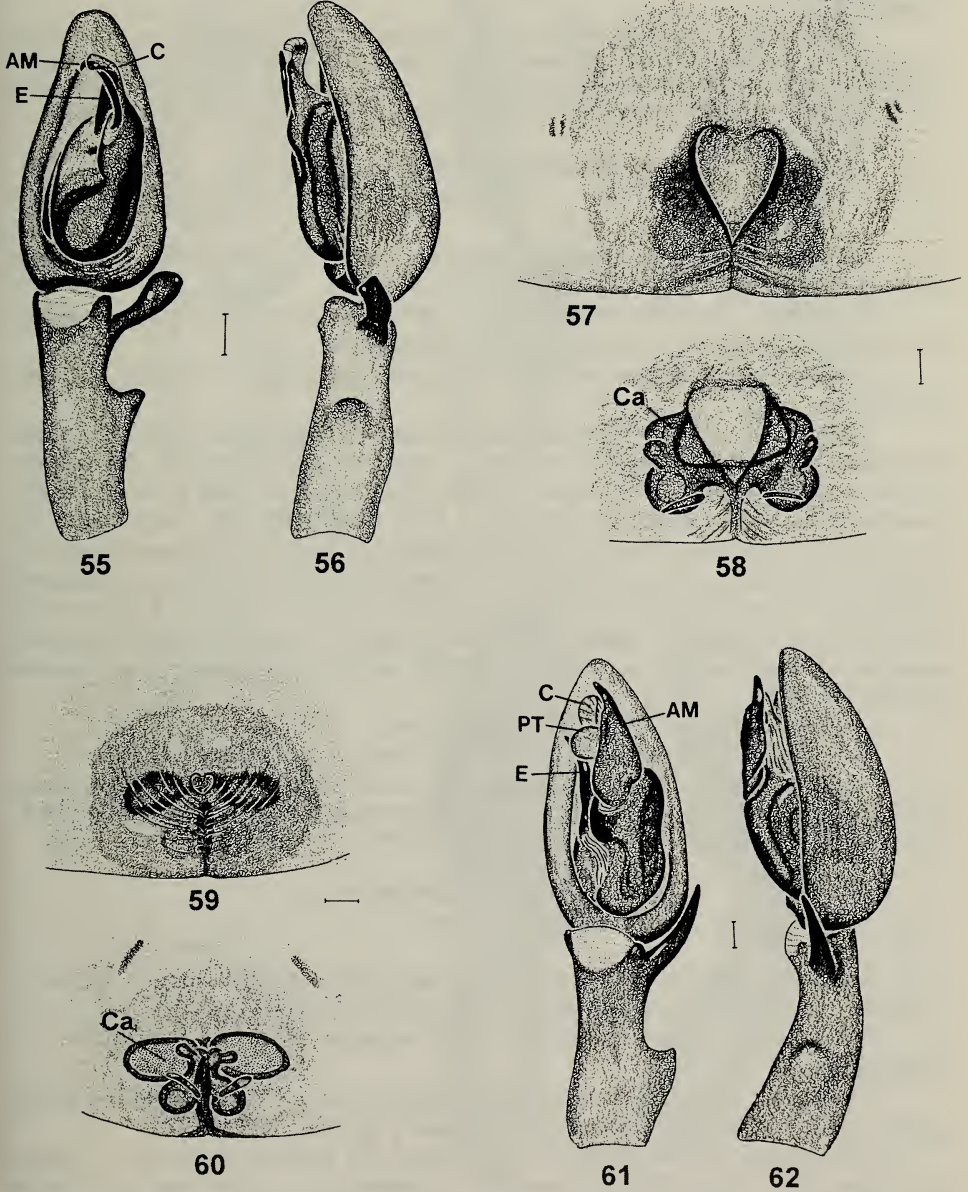
Nota. La especie se identificó tentativamente de acuerdo al esquema del epigino de la descripción original y a la distribución geográfica, ya que el epigino del sintipo hembra está perdido.

Diagnosis. Los machos pueden distinguirse por la apófisis media larga, delgada (fig. 56) y la apófisis tibial con el extremo dilatado (fig. 55). Las hembras por el atrio del epigino en forma de corazón y las cámaras anteriores de los conductos copuladores pequeñas (figs. 57, 58).

Descripción. Macho (Valdivia, Valdivia, MHNS). Largo total 10,1. Cefalotórax: largo 6,0, ancho 4,4; clípeo, altura 0,08. Ojos: fila anterior 2,8, posterior 2,9; AOM largo 0,58, ancho anterior 0,78, posterior 1,1; diámetros OMA 0,27, OLA 0,27, OMP 0,23, OLP 0,25; interdistancias OMA-OMA 0,35; OMA-OLA 0,35; OMP-OMP 0,67; OMP-OLP 0,78; OLA-OLP 0,15; quelíceros largo 3,6. Esternón largo 2,7, ancho 2,0. Abdomen largo 5,7, ancho 3,6. Hileras laterales posteriores, artículo proximal largo 0,53, distal poco destacado. Patas: largo relativo I.II.IV.III; I - fémur 6,0 / patela 2,6 / tibia 6,0 / metatarso 6,4 / tarso 2,1 / total 23; II - 5,1 / 2,4 / 4,7 / 4,8 / 1,7 / 18,5; III - 4,0 / 1,8 / 2,5 / 3,0 / 1,2 / 12,5; IV - 4,9 / 2,0 / 3,8 / 4,3 / 1,4 / 16,4. Espinas: metatarsos I, II v 2-0-1; III p 1-0-2, r 2ap; IV v 2-1-1 o 2-0-1, p 1-0-2, r 2ap. Palpo (figs. 55, 56): apófisis media acompañando al conductor; proyección tegular ausente; émbolo apical, curvado.

Hembra (Valdivia, Las Trancas, AMNH). Largo total 11,4. Cefalotórax: largo 4,7, ancho 3,9; clípeo, altura 0,10. Ojos: fila anterior 2,6, posterior 2,7; AOM largo 0,62, ancho anterior 0,77, posterior 0,98; diámetros OMA 0,23, OLA 0,18, OMP 0,23, OLP 0,20; interdistancias OMA-OMA 0,35; OMA-OLA 0,77; OMP-OMP 0,63; OMP-OLP 0,75; OLA-OLP 0,13; quelíceros largo 3,0. Esternón largo 2,4, ancho 1,9. Abdomen largo 7,2, ancho 4,5. Hileras laterales posteriores, artículo proximal largo 0,57, distal 0,30. Patas: largo relativo I.IV.II.III; I - fémur 4,2 / patela 2,1 / tibia 5,1 / metatarso 4,0 / tarso 1,4 / total 16,7; II - 3,5 / 1,9 / 3,0 / 3,3 / 1,2 / 12,9; III - 2,8 / 1,2 / 1,8 / 2,3 / 1,0 / 9,2; IV - 3,9 / 1,8 / 2,9 / 3,4 / 1,2 / total 13,3. Espinas: metatarsos III p y r 2ap, IV p 1ap r 2ap. Epigino: atrio cordiforme (fig. 57); cámaras anteriores de los conductos copuladores pequeñas, separadas entre sí (fig. 58).

Variación. Hembras, largo total 10-11,4 (n=4). Machos, largo total 8,7-12,7 (n=4).



Figs. 55-62. *Macerio nicoleti* (Mello-Leitão): 55, palpo, ventral; 56, retrolateral; 57, epigino, ventral; 58, dorsal aclarado. *Macerio lanin* sp. n.: 59, epigino, ventral; 60, dorsal aclarado. *Macerio pucalan* sp. n.: 61, palpo, ventral; 62, retrolateral. (Abreviaturas: AM= apófisis media; C= conductor; Ca= cámara anterior; E= émbolo; PT= proyección tegular). Escalas: 0,2mm, figs. 55-58; 0,1mm, figs. 59-62.

Distribución. Chile, regiones IX y X, desde la provincia de Malleco hasta Llanquihue.

Material. CHILE. **Región IX:** Malleco, P. Nac. Nahuelbuta, 13.II.92, Ramírez *et al.*, 1♀ (AMNH); Cautín, 12,3km N Loncoche, 280m, en *Nothofagus* sp. 10.XI.66, E. Schlinger & M. Irwin, 1♀ (CAS); **Región X:** Valdivia, Las Trancas (W La Unión, 500m), 6-10.II.88, L. Peña, 1♀ (AMNH); Puelón (NW Panguipulli), 10.I.85, L. Peña, 1♀ (AMNH); Valdivia, XI-XII.1983, E. Krahmer, 2♂ (MHNS 696); 2♂ (MNHN 18256).

Macerio lanin Bonaldo & Brescovit, sp. n.

(Figs. 59-60)

Holotipo. Hembra de Argentina, Neuquén, Parque Nacional Lanín, San Martín de los Andes, 1000m, XI-XII.85, Gentili, (MACN 9287).

Etimología. El nombre específico es un sustantivo en aposición y refiere al Parque Nacional Lanín, donde se encuentra la localidad típica.

Diagnosis. Se distingue de las demás especies por el pequeño tamaño del atrio (fig. 59).

Descripción. Hembra (holotipo). Largo total 8,3. Cefalotórax: largo 3,6, ancho 3,0; clípeo, altura 0,07. Ojos: fila anterior 2,0, posterior 2,1; AOM largo 0,47, ancho anterior 0,62, posterior 0,82; diámetros OMA 0,18, OLA 0,20, OMP 0,15, OLP 0,18; interdistancias OMA-OMA 0,28; OMA-OLA 0,50; OMP-OMP 0,50; OMP-OLP 0,58; OLA-OLP 0,10; quelíceros largo 2,2. Esternón largo 1,8, ancho 1,5. Abdomen largo 5,2, ancho 3,9. Patas: largo relativo I.II=IV.III; I - fémur 2,8 / patela 1,2 / tibia 2,4 / metatarso 2,5 / tarso 1,1 / total 10,0; II - 2,5 / 1,4 / 1,9 / 2,2 / 0,97 / 9,0; III - 2,0 / 1,2 / 1,2 / 1,6 / 0,76 / 6,7; IV - 2,5 / 1,2 / 2,0 / 2,3 / 0,97 / 9,0. Espinas: como en *M. flavus*. Epigino: cámaras anteriores de los conductos copuladores amplias, ovaladas, transversales y adyacentes entre sí (fig. 60).

Variación. Hembras, largo total 7,6-8,9 (n=4).

Distribución. Argentina, Neuquén. Chile, Osorno.

Material. Paratipos: ARGENTINA. Neuquen: Parque Nacional Lanín, San Martín de los Andes, 1000m, XI-XII.85, Gentili, 2♀ (MACN 9288; MCN 25965); 18-21.XI.89, S. Marshall, 1♀ (AMNH). CHILE. **Región X:** Osorno, Parque Nacional Puyehue, Aguas Calientes, 12.II.92, Ramírez *et al.*, 1♀ (AMNH).

Macerio pucalan Ramírez, sp. n.

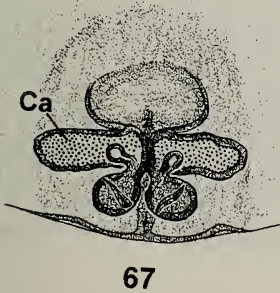
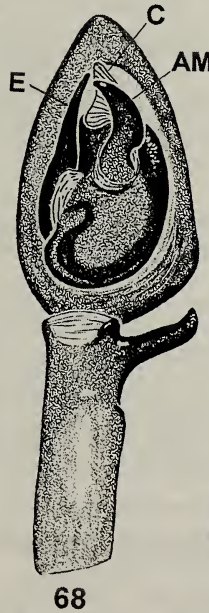
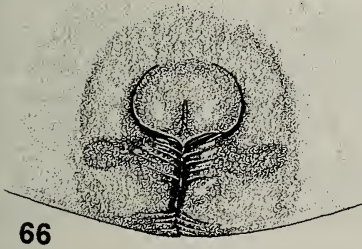
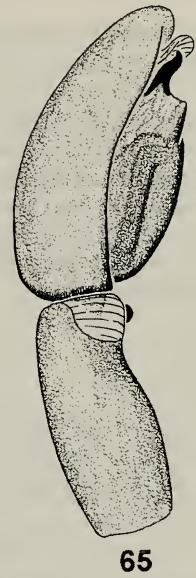
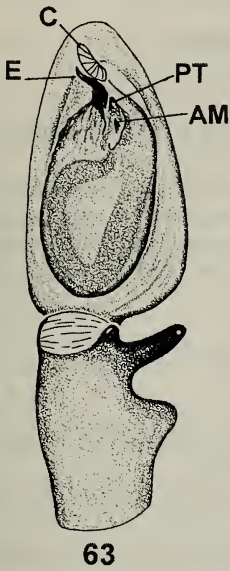
(Figs. 61-62)

Holotipo. Macho de Chile, Región V, Provincia Quillota, Cuesta Pucalán (32°44'S, 71°16'W), 15.IX.66, E. Schlinger & M. Irwin, (MHNS, cortesía de CAS).

Etimología. El nombre específico es un sustantivo en aposición y refiere a la localidad típica.

Diagnosis. Se distingue de las demás especies por poseer una apófisis media grande y subtriangular, y la apófisis tibial delgada y aguzada (figs. 61, 62).

Descripción. Macho (Holotipo). Largo total 7,5. Cefalotórax: largo 3,7, ancho 2,8; clípeo, altura 0,07. Ojos: fila anterior 1,7, posterior 1,8; AOM largo 0,47, ancho anterior 0,57, posterior 0,66; diámetros OMA 0,20, OLA 0,17, OMP 0,13, OLP 0,17; interdistancias OMA-OMA 0,20; OMA-OLA 0,42; OMP-OMP 0,38; OMP-OLP 0,47; OLA-OLP 0,13; quelíceros largo 2,3. Esternón largo 1,8, ancho 1,4. Abdomen largo 3,9,



Figs. 63-69. *Macerio conguillio* sp. n.: 63, palpo, ventral; 64, retrolateral; 65, prolateral; 66, epigino, ventral; 67, dorsal aclarado. *Macerio chabon* sp. n.: 68, palpo, ventral; 69, retrolateral. (Abreviaturas: AM= apófisis media; C= conductor; Ca= cámara anterior; E= émbolo; PT= proyección tegular). Escalas: 0,1mm, figs. 63-67; 0,2mm, figs. 68,69.

ancho 2,1. Patas: largo relativo I.IV.II.III; I - fémur 3,7 / patela 1,7 / tibia 3,9 / metatarso 3,7 / tarso 1,4 / total 14,4; II - 3,0 / 1,5 / 2,6 / 2,7 / 1,1 / 10,8; III - 2,2 / 1,1 / 1,7 / 2 / 0,90 / 7,9; IV - 3,9 / 1,3 / 2,4 / 2,8 / 1,1 / 11,5. Espinas: tibias I y II v p1 o 0, IV v p 1ap o 0; metatarsos I y II v 2-2-1; III y IV v 2-2-1, p 1-0-2 o 2ap, r 2ap. Palpo (figs. 61, 62): proyección tegular globular, émbolo corto y casi recto.

Variación. Machos, largo del prosoma 3,7-5,2 (n=4, uno sin abdomen).

Distribución. Chile, región Metropolitana y provincias de Valparaíso y Quillota.

Material. Paratipos: CHILE. Región V: Valparaíso, 16km N de Concón, 16.XII.50, Ross & Michelbacher, 1♂ (CAS); Región Metropolitana: Santiago, Portezuelo, cerca de Colina, 500m, IX-X.83, L. Peña, 1♂ sin abdomen (AMNH).

Macerio conguillio Ramírez, sp. n.

(Figs. 63-67)

Tipos: macho holotipo y hembra alotipo de Chile, Región IX, Cautín, Parque Nacional Conguillio, 23.II.92, M. Ramírez et al., (MHNS).

Etimología. El nombre específico es un sustantivo en aposición y refiere a la localidad típica.

Diagnosis. Los machos se distinguen por poseer émbolo corto y apófisis media reducida (fig. 63). Las hembras por la forma subcircular del atrio (fig. 66).

Descripción. Macho (holotipo). Largo total 7,6. Cefalotórax: largo 3,6, ancho 2,8; clípeo, altura 0,08. Ojos: fila anterior 1,9, posterior 1,9; AOM largo 0,18, ancho anterior 0,62, posterior 0,78; diámetros OMA 0,18, OLA 0,17, OMP 0,15, OLP 0,15; interdistancias OMA-OMA 0,28; OMA-OLA 0,45; OMP-OMP 0,48; OMP-OLP 0,52; OLA-OLP 0,13; quelíceros largo 2,2. Esternón largo 1,7, ancho 1,4. Abdomen largo 4,3, ancho 2,9. Patas: largo relativo I.II.IV.III; I - fémur 3,3 / patela 1,6 / tibia 3,2 / metatarso 3,3 / tarso 1,3 / total 12,8; II - 2,8 / 1,5 / 2,6 / 2,7 / 1,1 / 10,7; III - 1,3 / 1,2 / 1,6 / 1,9 / 0,97 / 6,7; IV - 2,9 / 1,3 / 2,3 / 2,6 / 1,1 / 10,2. Espinas: I y II v 2-2-1 o 2-p1-1; III y IV v 2-p1-1, p 1-0-2, r 2ap. Palpo (figs. 63-65): apófisis tibial corta, de tamaño algo mayor al tubérculo; proyección tegular pequeña y cónica, apófisis media vestigial; émbolo apical, pequeño.

Hembra (alotipo). Largo total 10,0. Cefalotórax: largo 4,0, ancho 3,2; clípeo, altura 0,06. Ojos: fila anterior 2,2, posterior 2,2; AOM largo 0,50, ancho anterior 0,48, posterior 0,28; diámetros OMA 0,20, OLA 0,18, OMP 0,17, OLP 0,18; interdistancias OMA-OMA 0,25; OMA-OLA 0,42; OMP-OMP 0,50; OMP-OLP 0,38; OLA-OLP 0,12; quelíceros largo 2,5. Esternón largo 2,0, ancho 1,6. Abdomen largo 6,3, ancho 4,3. Patas: largo relativo I.IV.II.III; I - fémur 3,2 / patela 1,7 / tibia 2,7 / metatarso 2,8 / tarso 1,2 / total 11,7; II - 2,8 / 1,6 / 2,3 / 2,3 / 1,1 / 10,0; III - 2,1 / 1,2 / 1,5 / 1,8 / 0,90 / 7,5; IV - 3 / 1,5 / 2,6 / 2,6 / 1,1 / 10,8. Espinas: metatarsos I y II v 1ap; III v 1ap, p y r 2ap; IV p 1ap, r 2ap. Epigino: cámaras anteriores de los conductos copuladores amplias, alargadas, transversales y adyacentes entre sí (fig. 67).

Variación. Machos, largo total 7,6-8,5 (n=2).

Distribución. Chile, Cautín. Argentina, Río Negro.

Material. ARGENTINA. Río Negro: Parque Nacional Nahuel Huapi, Lago Mascarid, I.95, M. Calderón, 1♂ (MACN).

***Macerio chabon* Ramírez, sp. n.**

(Figs. 68-69)

Holotipo. Macho de Chile, Región VIII, Provincia Concepción, Loma Colorada, 27.XI.75, T. Cekalovic, (AMNH).

Etimología. El nombre específico es una combinación arbitraria de letras.

Diagnosis. Se distingue de las demás especies por la apófisis media muy desarrollada y curvada, y por el tubérculo tibial reducido (fig. 68, 69).

Descripción. Macho (holotipo). Largo total 13,3. Cefalotórax: largo 7,1, ancho 5,1; clípeo, altura 0,17. Ojos: fila anterior 3,0, posterior 3,1; AOM largo 0,83, ancho anterior 0,92, posterior 1,1; diámetros OMA 0,25, OLA 0,22, OMP 0,25, OLP 0,25; interdistancias OMA-OMA 0,42; OMA-OLA 0,80; OMP-OMP 0,67; OMP-OLP 0,83; OLA-OLP 0,25; quelíceros largo 4,4. Esternón largo 3,2, ancho 2,4. Abdomen largo 7,2, ancho 4,3. Patas: largo relativo I.II.IV.III; I - fémur 7,2 / patela 3,2 / tibia 7,3 / metatarso 6,9 / tarso 1,7 / total 26,3; II - 6,3 / 2,9 / 5,6 / 5,6 / 2,3 / 23,0; III - 4,5 / 2,2 / 3,3 / 3,7 / 1,7 / 15,5; IV - 4,0 / 1,9 / 5,1 / 5,0 / 1,9 / 17,7. Espinas: metatarsos I y II v 2-2-1; III v 2-p1-1, p 1ap, r 2ap; IV v p1-1, p 1ap, r 2ap. Palpo (figs. 68, 69): apófisis media muy esclerotizada, proyección tegular ausente; émbolo grueso y casi recto.

***Macerio nublio* Bonaldo & Brescovit, sp. n.**

(Figs. 70-71)

Holotipo. Macho de Chile, Región VIII, Provincia Ñuble, Las Trancas, 19,5km SE de Recinto, 1-10.XII.65, L. Peña (MCZ).

Etimología. El nombre específico es una combinación arbitraria de letras.

Diagnosis. Se distingue de las demás especies por la proyección lamelar del émbolo (fig. 70).

Descripción. Macho (holotipo). Largo total 7,7. Cefalotórax: largo 3,3, ancho 2,7; clípeo, altura 0,87. Ojos: fila anterior 1,6, posterior 1,7; AOM largo 0,42, ancho anterior 0,50, posterior 0,68; diámetros OMA 0,18, OLA 0,17, OMP 0,15, OLP 0,17; interdistancias OMA-OMA 0,17; OMA-OLA 0,42; OMP-OMP 0,40; OMP-OLP 0,42; OLA-OLP 0,10; quelíceros largo 1,3. Esternón largo 1,7, ancho 1,4. Abdomen largo 4,4, ancho 1,4. Patas: largo relativo I.II.IV.III; I - fémur 3,3 / patela 1,5 / tibia 5,1 / metatarso 3,3 / tarso 1,3 / total 14,4; II - 2,8 / 1,0 / 2,5 / 2,5 / 1,1 / 10,0; III - 2,2 / 0,80 / 1,5 / 1,9 / 0,87 / 7,2; IV - 2,9 / 1,2 / 2,2 / 2,6 / 1,0 / 9,9. Espinas: metatarsos I y II v p1-0-1; III v 2-p1-1 o p1-p1-1, p y r 2ap; IV v 0-p1-1, p 1ap, r 2ap. Palpo (figs. 70, 71): apófisis tibial de tamaño algo mayor al tubérculo; apófisis media vestigial; conductor delgado; émbolo apical, con una proyección lamelar.

***Macerio pichono* Bonaldo & Brescovit, sp. n.**

(Figs. 72-73)

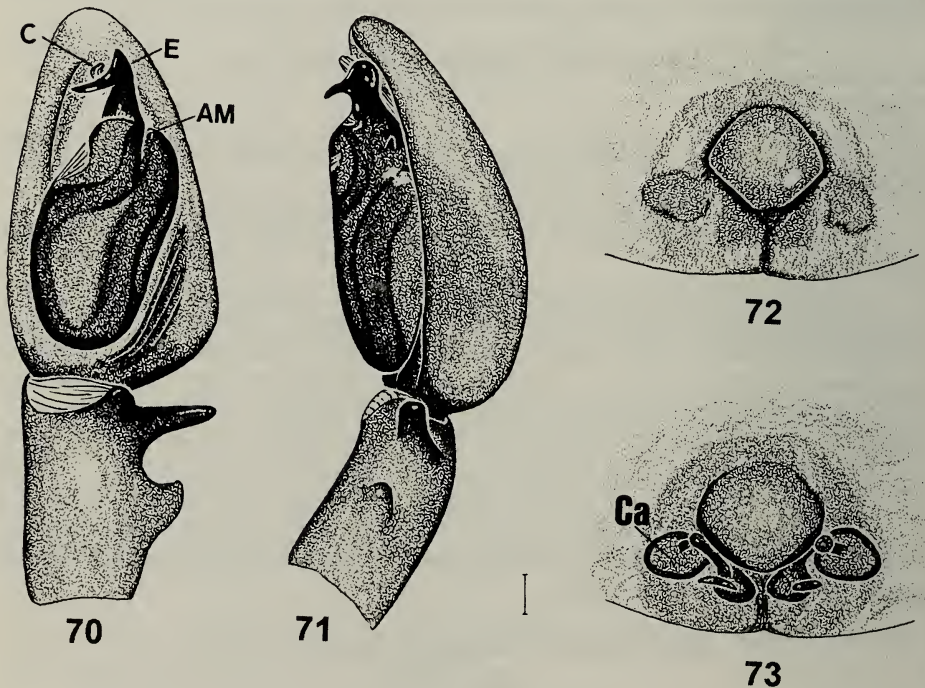
Holotipo. Hembra de Chile, Región X, Provincia Valdivia, Huachocopihue, 7.III.65, H. Levi, (MCZ).

Etimología. El nombre específico es una combinación arbitraria de letras.

Diagnosis. Se distingue de las demás especies por el atrio romboidal (fig. 72) y

por las cámaras anteriores de los conductos copuladores amplias y separadas entre sí (fig. 73).

Descripción. Hembra (holotipo). Largo total 7,1. Cefalotórax: largo 2,8, ancho 2,4; clípeo, altura 0,05. Ojos: fila anterior 1,6, posterior 1,7; AOM largo 0,35, ancho anterior 0,47, posterior 0,63; diámetros OMA 0,15, OLA 0,15, OMP 0,10, OLP 0,12; interdistancias OMA-OMA 0,20; OMA-OLA 0,43; OMP-OMP 0,40; OMP-OLP 0,45; OLA-OLP 0,10; quelíceros largo 1,8. Esternón largo 1,5, ancho 1,2. Abdomen largo 4,3, ancho 2,9. Patas: largo relativo I.IV.II.III; I - fémur 2,1 / patela 1,2 / tibia 1,8 / metatarso 1,9 / tarso 0,83 / total 7,8; II - 1,8 / 1,1 / 1,4 / 1,6 / 0,77 / 6,6; III - 1,5 / 0,87 / 0,93 / 1,2 / 0,63 / 5,1; IV - 1,9 / 1,0 / 1,6 / 1,8 / 0,77 / 7,1. Espinas: metatarsos I y II v 1ap; III p y r 2ap, v 2ap; IV p 1ap, r 2ap, v 1ap. Epigino: atrio aproximadamente romboidal (fig. 72); cámaras anteriores de los conductos copuladores amplias, irregulares y separadas entre sí (fig. 73).



Figs. 70-73. *Macerio nublio* sp. n.: 70, palpo, ventral; 71, retrolateral. *Macerio pichono* sp. n.: 72, epigino, ventral; 73, dorsal aclarado. (Abreviaturas: AM=apófisis media; C= conductor; Ca= cámara anterior; E=émbolo). Escalas: 0,1mm.

Species inquirendae
***Macerio aspersus* (Nicolet)**

Clubiona aspersa NICOLET, 1849:442 (dos sintipos juveniles de Valdivia, Chile, MNHN 4217, examinados); SIMON, 1864:132; SIMON 1887:4; PETRUNKEVITCH, 1911:541; BONNET, 1957:2546.

Liparotoma aspersum; SIMON, 1887:4; PETRUNKEVITCH, 1911:490; ROEWER, 1954:541; BONNET, 1957:2546.

Macerio aspersum; RAMÍREZ, 1993:204.

Hasta donde llegan nuestros conocimientos las especies del género son indiferenciables por la morfología somática, y se distinguen por los genitales, lo cual hace a los sintipos juveniles de esta especie indeterminables.

Agradecimientos. A Norman Platnick (AMNH), quien examinó los tipos de *Nicoletina nicoleti*. A Erica H. Buckup (MCN), Norman Platnick y María Elena Galiano (MACN), quienes aportaron valiosos comentarios sobre un borrador del manuscrito. A los curadores, que hicieron posible el estudio de los especímenes. C. Mansan, operador del microscopio electrónico de barrido del MCN, y a la dirección del MCN por el uso del equipamiento.

REFERENCIAS BIBLIOGRÁFICAS

- BENOIT, P. L. G. 1977. Fam. Clubionidae. In: La faune terrestre de l'île Saint Helena IV. **Annlis Mus. r. Afr. cent.** (Sci. Zool.), Tervuren, **220**:12-22.
- BONALDO, A. B. 1994. A subfamília Eutichurinae na Região Neotropical, com a revisão do gênero *Eutichurus* Simon, 1896 (Araneae, Miturgidae). **Iheringia**, Sér. Zool., Porto Alegre, (76): 101-159.
- BONALDO, A. B. & BUCKUP, E. H. 1995. Revisão do gênero *Radulphius* (Araneae, Miturgidae, Eutichurinae). **Iheringia**, Sér. Zool., Porto Alegre, (78): 127-156.
- BONNET, P. 1956. **Bibliographia araneorum**. Toulouse, Douladoure, v.2, pt.2, p. 919-1925.
- . 1957. **Bibliographia araneorum**. Toulouse, Douladoure, v.2, pt.3, p. 1927-3026.
- BRESCOVIT, A. D.; BONALDO, A. B. & MIKHAILOV, K. G. 1994. Revalidation of the spider genus *Elaver* O. Pickard-Cambridge, 1898 (Aranei Clubionidae). **Arthropoda Selecta**, Muscú, **3**(1-2): 35-38.
- BRIGNOLI, P. M. 1983. **A catalogue of the Araneae described between 1940 and 1981**. Manchester, Manchester University, 755p.
- CODDINGTON, J. A. & LEVI, H. W. 1991. Systematics and Evolution of Spiders (Araneae). **Ann. Rev. Ecol. Syst.**, California, **22**:565-592.
- FORSTER, R. R. & BLEST, A. D. 1979. The spiders of New Zealand, Part V: Cycloctenidae, Gnaphosidae, Clubionidae, Linyphiidae-Mynogleninae. **Otago Mus. Bull.**, Otago, **5**:1-173.
- FRANGANILLO BALBOA, P. 1930. Arácnidos de Cuba. Más Arácnidos nuevos de la Isla de Cuba. **Inst. Nacion. Invest. Cien. Habana**, Habana, **1**(1): 1-97.
- . 1935. Estudio de los arácnidos recogidos durante el verano de 1934. **Belén**, Habana, **1935** (51-52): 42-48.
- . 1936. **Los Arácnidos de Cuba hasta 1936**. Habana, Cultural, 183p.
- HUBER, B. A. 1995. Genital morphology and copulatory mechanics in *Anyphaena accentuata* (Anyphaenidae) and *Clubiona pallidula* (Clubionidae: Araneae). **J. Zool. Lond.**, London, **235**: 689-702.
- LEHTINEN, P. T. 1967. Classification of the Cribellate spiders and some allied families, with notes on the evolution of the suborder Araneomorphae. **Annlis Zool. Fenn.**, Helsinki, **4**(3):199-468.
- MELLO-LEITÃO, C. F. 1951. Arañas de Maullin, colectadas por el ingeniero Rafael Barros V. **Revta chil. Hist. nat.**, Santiago, **51-53**: 327-338.
- NICOLET, H. 1849. Arácnidos. In: GAY, C. **Historia Física y política de Chile.**, Paris, Gay v.3, p. 319-543.
- PETRUNKEVITCH, A. 1911. A Synonymic Index-Catalogue of Spiders of North, Central and South America with all Adjacent Islands, Greenland, Bermuda, West Indies, Terra del Fuego, Galapagos, etc. **Bull. Am. Mus. nat. Hist.**, New York, **29**: 1-791.
- . 1928. Systema Araneorum. **Trans. Conn. Acad. Arts Sci.**, New Haven, **29**: 1-270.
- PLATNICK, N. I. 1990. Spinneret Morphology and the Phylogeny of Ground Spiders (Araneae, Gnaphosidae).

- Am. Mus. Novitates**, New York, (2978): 1-42.
- . 1993. A Review of the Pirate Spiders (Araneae, Mimetidae) of Chile. **Am. Mus. Novitates**, New York, (3074): 1-30.
- PLATNICK, N. I. & BONALDO, A. B. 1995. On the spider genus *Hebrithela* (Araneae, Miturgidae). **J. Arachnol.**, Kansas, **23**: 13-16.
- PLATNICK, N. I. & DI FRANCO, F. 1992. On the relationships of the spider genus *Cybaeodes* (Araneae, Dionycha). **Am. Mus. Novitates**, New York, (3053): 1-9.
- PLATNICK, N. I. & SHADAB, M. A. 1989. A review of the spider genus *Teminius* (Araneae, Miturgidae). **Am. Mus. Novitates**, New York, (2963): 1-12.
- RAMIREZ, M. J. 1993. Revisión del género *Liparotoma* Simon, 1884 (Araneae, Anyphaenidae). **Boln Soc. Biol. Concepción**, Concepción, **64**: 195-207.
- . 1995. A phylogenetic analysis of the subfamilies of Anyphaenidae (Arachnida, Araneae). **Ent. scand.**, Copenhagen, **26**: 361-384.
- ROEWER, C. F. 1954. **Katalog der Araneae von 1758 bis 1940, bzw. 1954**. Bruxelles, Institut Royal des Sciences naturelles de Belgique, v.2, abt.a. 923p.
- SIERWALD, P. 1989. Morphology and Ontogeny of Female Copulatory Organs in American Pisauridae, with Special Reference to Homologous Features (Arachnida: Araneae). **Smithson. Contr. Zool.**, Washington, **484**: 1-24.
- SIMON, E. 1864. **Histoire naturelle des Araignées (Aranéides)**. Paris, Libraria Encyclopédique de Roret, 540p.
- . 1887. Arachnides. **In: Mission scientifique du Cap Horn, 1882-1883**. Paris t.4, 1-42p.
- . 1897. **Histoire Naturelle des Araignées**. Paris, Librairie Encyclopédique de Roret. v.2, fasc.1, 192p.
- . 1904. Étude sur les Arachnides du Chili recueillis en 1900, 1901 et 1902 par MM. C. Porter, Dr. Delfin, Barcey Wilson et Edwards. **Annls Soc. ent. Belg.**, Bruxelles, **48**: 83-114.

Recebido em 02.06.1995; aceito em 26.04.1996.